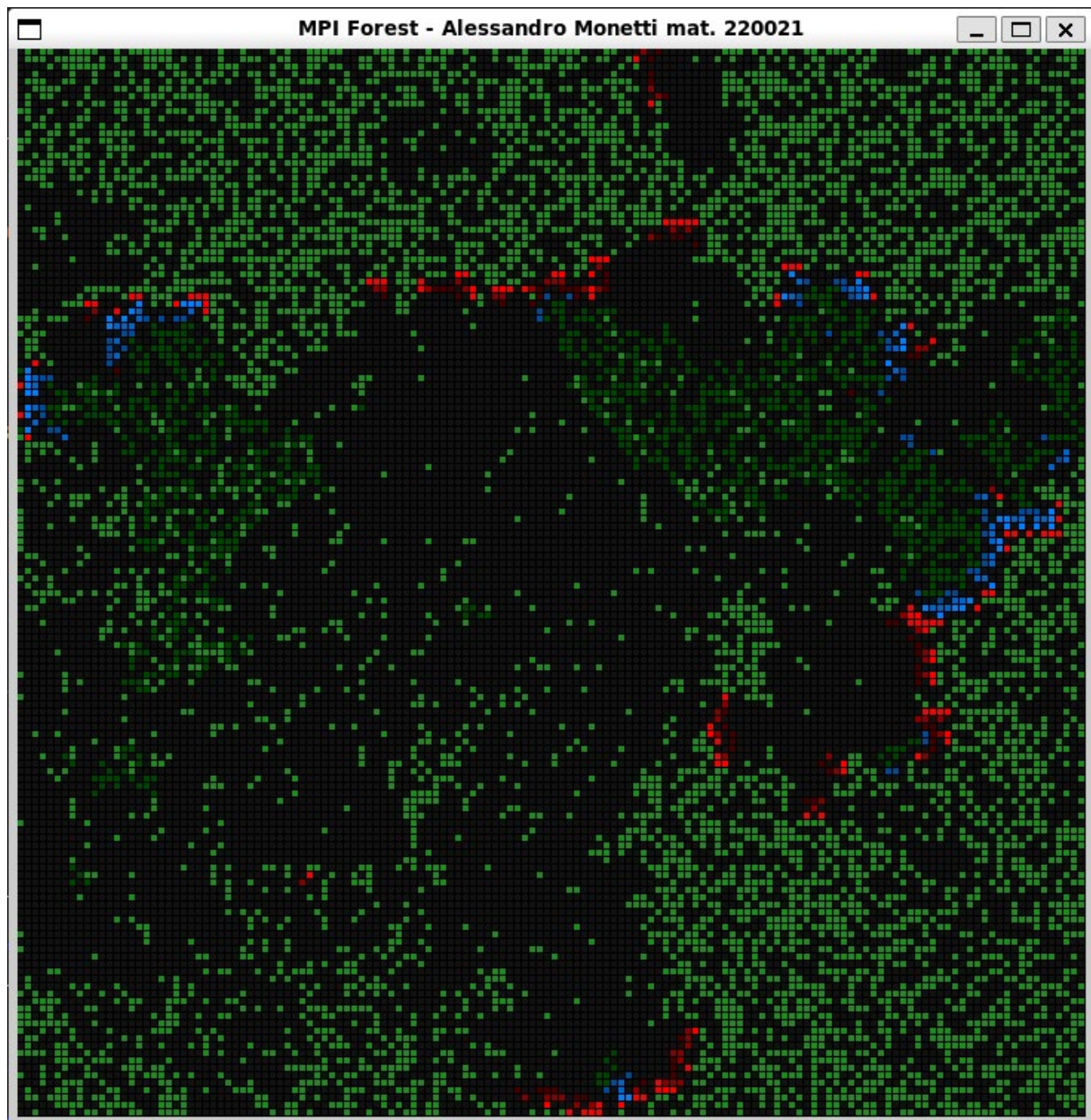


Progetto di
Algoritmi Paralleli e Sistemi Distribuiti

Forest Fire+



Alessandro Monetti - mat. 220021

L'automa cellulare “Forest Fire”

Il modello originale

Forest Fire è un'automa cellulare che simula il bioma della foresta e il suo peggior nemico: il fuoco.

All'istante 0 la foresta risulta completamente spoglia, e passo dopo passo, le celle che la compongono iniziano a trasformarsi in alberi, su una base puramente probabilistica.

Ogni albero, in qualsiasi momento, può prendere fuoco. Ciò accade se quest'ultimo viene colpito da un fulmine o uno dei suoi vicini è già in fiamme.

Una volta bruciato, al passo successivo l'albero scompare lasciando al suo posto una cella vuota.

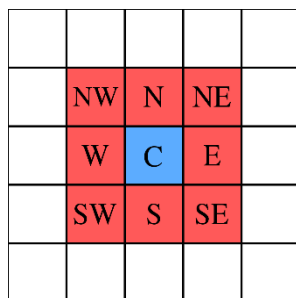


Fig. 1: Il modello di vicinato utilizzato è quello di “Moore” – courtesy of en.wikipedia.org

Il modello rivisitato

Il modello presentato, in versione appositamente rivisitata, presenta alcune sottili differenze dalla versione originale.

Ogni cella può avere 9 differenti stati, raccolti nel sorgente in una semplice enumerazione così composta:

```
states {EMPTY, TREE, BURNT_TREE, BURNING_LOW, BURNING_MID, BURNING_HIGH, WATER_LOW, WATER_MID, WATER_HIGH};  
0      1      2      3      4      5      6      7      8
```

Come è possibile notare dalla dichiarazione di cui sopra, è stata aggiunta l'acqua, che può essere gettata casualmente sul fuoco per poi seguirlo e spegnerlo, lasciando al suo posto un albero bruciato, che ha più possibilità di una cella vuota di diventare albero.

Sono stati aggiunti, inoltre, sia per fuoco che per acqua, 2 stati ulteriori ciascuno, utilizzati per permettere l'effetto grafico di “sfumatura”.

I cambiamenti di stato

Di seguito la guida sui possibili cambiamenti di stato:

EMPTY: Può rimanere **EMPTY** oppure diventare **TREE** (con una probabilità dello 0,2%);

TREE: Può rimanere **TREE** oppure diventare **BURNING_HIGH** (tramite vicinanza a **BURNING_HIGH** o colpito da un fulmine con una probabilità dello 0,002%);

BURNT_TREE: Può rimanere **BURNT_TREE** oppure diventare **TREE** (con una probabilità dell' 1%);

BURNING_LOW: Può diventare **EMPTY** oppure diventare **WATER_LOW** se entra a contatto di: { **WATER_LOW**, **WATER_MID**, **WATER_HIGH** };

BURNING_MID: Può diventare **BURNING_LOW** oppure diventare **WATER_MID** se entra a contatto di: { **WATER_MID**, **WATER_HIGH** };

BURNING_HIGH: Può diventare **BURNING_MID** oppure diventare **WATER_HIGH** (tramite vicinanza a **WATER_HIGH** o bagnato dagli aerei antincendio con una probabilità dello 0,02%)

WATER_LOW: Diventa **BURNT_TREE**;

WATER_MID: Diventa **WATER_LOW**;

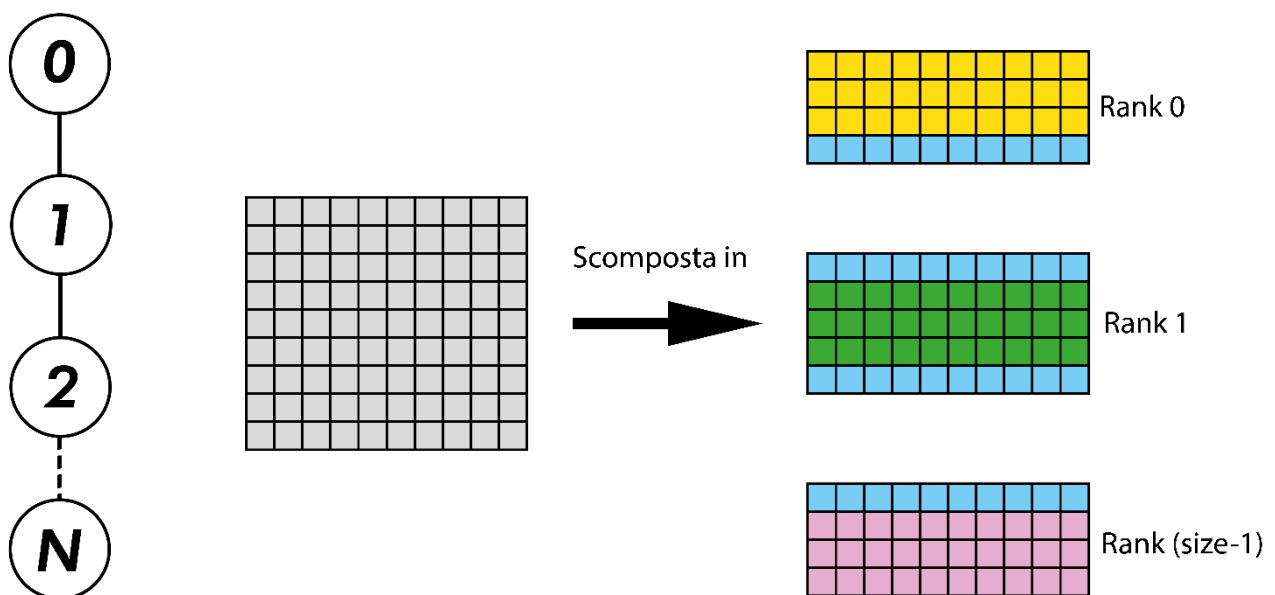
WATER_HIGH: Diventa **WATER_MID**;

L'implementazione

Per lo sviluppo della versione parallela di questo progetto si è deciso di affiancare al comune linguaggio di programmazione “C” il protocollo di comunicazione “MPI” (Message Passing Interface), usato generalmente per l’elaborazione parallela su cluster di computer.

Per poter rendere possibile ciò è stato necessario dividere i dati da gestire ai vari rank (processi).

Per la suddivisione dei processi si è pensato di fare utilizzo di una topologia virtuale di tipo cartesiano monodimensionale (senza periodicità, poiché non necessaria) integrata in MPI (`MPI_Cart_create()` ed `MPI_Cart_shift()`), con orientamento verticale (puramente frutto di convenzione), per ottenere un alto grado di parallelizzazione riducendo l’overhead derivante da un’eccessiva comunicazione.



Figg. 2-3: A sinistra la topologia virtuale utilizzata, a destra una demo di scomposizione della matrice, con ghost cells (in azzurro)

Ad ogni iterazione del ciclo principale, ogni rank (processo) effettuerà le seguenti operazioni nell'ordine:

- Invio bordi (non bloccante) ai nodi adiacenti;
- Applicazione funzione transizione all'interno del nodo eccetto bordi;
- Ricezione bordi (bloccante) dai nodi adiacenti e inserimento in ghost cells;
- Applicazione funzione transizione ai bordi del nodo;
- Scambio piani di lettura e scrittura;
- Invio matrice lettura al nodo che si occupa della grafica.

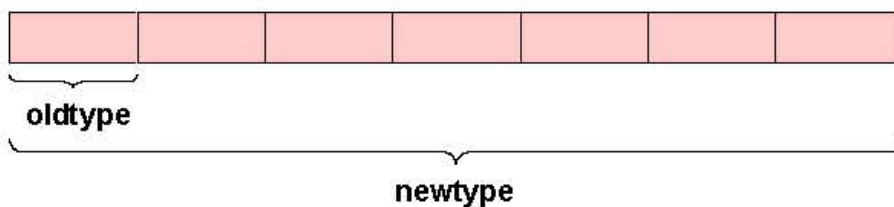
Le comunicazioni vengono fatte tra i processi utilizzando le funzioni `MPI_Isend()` ed `MPI_Recv()`.

La simulazione prevede anche una visualizzazione grafica utilizzando la libreria "allegro5" per rappresentare lo stato corrente dell'automa.

Per rendere più agevole l'invio dei dati tra i vari rank si è inoltre scelto di fare uso di due `MPI_Datatype` (contigui) derivati creati ad hoc:

- `MPI_MYROW` composto da `nCols MPI_INT`
- `MPI_MYLOCALMATRIX` composto da $(nRows/size)*nCols$ `MPI_INT`

- The simplest derived datatype
- Consists of a number of contiguous items of the same datatype



- C: `int MPI_Type_contiguous(int count, MPI_Datatype oldtype, MPI_Datatype *newtype)`

Fig. 4: MPI_Type_contiguous(...) – courtesy of Prof. William Spataro

I risultati

Premesse

Per vedere in gioco l'effettiva utilità del calcolo parallelo, sono state prese diverse misurazioni, sulla seguente macchina:

CPU: Ryzen 7 3700X @ 4,35GHz (8 Cores/16 Threads)

RAM: Crucial Ballistix 4x8 (32GB) @ 3600MHz (Cas Latency di 16)

I tempi (mostrati di seguito in *millisecondi*) sono stati presi su una media di 10 misurazioni per ciascun test case (250 misurazioni totali) e sono stati presi (ad eccezione dell'ultimo gruppo) dopo 100 step, con 1, 2, 4, 8 e 16 processi, e matrici di dimensioni 128x128, 256x256, 512x512 e 992x992, senza flag di ottimizzazione in fase di compilazione.

```
After 100 steps: {
  CA matrix size (128 x 128)
    1 thread : 25,271247      Speedup: 1      Efficiency: 1
    2 threads: 12,784562     Speedup: 1,976700 Efficiency: 0,988350
    4 threads: 6,654327      Speedup: 3,797716 Efficiency: 0,949429
    8 threads: 4,204924      Speedup: 6,009917 Efficiency: 0,751239
    16 threads: 2,973017     Speedup: 8,500202 Efficiency: 0,531262

  CA matrix size (256 x 256)
    1 thread : 101,078122    Speedup: 1      Efficiency: 1
    2 threads: 51,106359     Speedup: 1,977799 Efficiency: 0,988899
    4 threads: 25,735392     Speedup: 3,927592 Efficiency: 0,981898
    8 threads: 18,733431     Speedup: 5,395601 Efficiency: 0,674450
    16 threads: 14,682482    Speedup: 6,884266 Efficiency: 0,430266

  CA matrix size (512 x 512)
    1 thread : 406,222751    Speedup: 1      Efficiency: 1
    2 threads: 205,633711    Speedup: 1,975467 Efficiency: 0,987733
    4 threads: 109,032439    Speedup: 3,725705 Efficiency: 0,931426
    8 threads: 72,203691     Speedup: 5,626066 Efficiency: 0,703258
    16 threads: 41,620500    Speedup: 9,760160 Efficiency: 0,610010

  CA matrix size (992 x 992)
    1 thread : 1527,508490   Speedup: 1      Efficiency: 1
    2 threads: 775,265994    Speedup: 1,970302 Efficiency: 0,985151
    4 threads: 415,489074    Speedup: 3,676410 Efficiency: 0,919102
    8 threads: 260,839269    Speedup: 5,856129 Efficiency: 0,666005
    16 threads: 149,464295   Speedup: 10,219888 Efficiency: 0,638743
}

After 1000 steps: {
  CA matrix size (992 x 992)
    1 thread : 20792,490355  Speedup: 1      Efficiency: 1
    2 threads: 10716,475906  Speedup: 1,940235 Efficiency: 0,970117
    4 threads: 5750,790332   Speedup: 3,615588 Efficiency: 0,903897
    8 threads: 3424,068797   Speedup: 6,072451 Efficiency: 0,759056
    16 threads: 1980,622202   Speedup: 10,497959 Efficiency: 0,656122
}
```

Fig. 5: Le misurazioni dei tempi

Considerazioni

Nota: La grafica (e la funzione *MPI_Gather()* utilizzata per comunicare al **rank** che si occupa di quest'ultima) sono stati scorporati dal calcolo dei tempi mostrati in figura, in quanto essa è stata utilizzata solo a scopo dimostrativo circa l'effettivo funzionamento dell'automa e inoltre altererebbe di molto le misurazioni,

Dando uno sguardo all'immagine precedente, possiamo notare come lo **speedup** (ovvero il rapporto fra il tempo impiegato in maniera sequenziale e il tempo impiegato in parallelo) cresca all'aumentare del numero di processi impiegati; ciò nonostante, i risultati rimangono lontani dall'**efficienza** massima auspicabile (ovvero un rapporto tra speedup e numero di processi uguale ad 1).

Per completezza e curiosità sono state anche effettuate le stesse misurazioni CON l'impiego della *MPI_Gather()*, ed è stato notato come quest'ultima introduca una tangibile quantità di **overhead** (tempo extra impiegato oltre alla computazione, solitamente nelle comunicazioni), soprattutto per quanto riguarda 8 e 16 processi.

I risultati sono visibili nel file di testo "*times.txt*" allegato alla presente relazione.